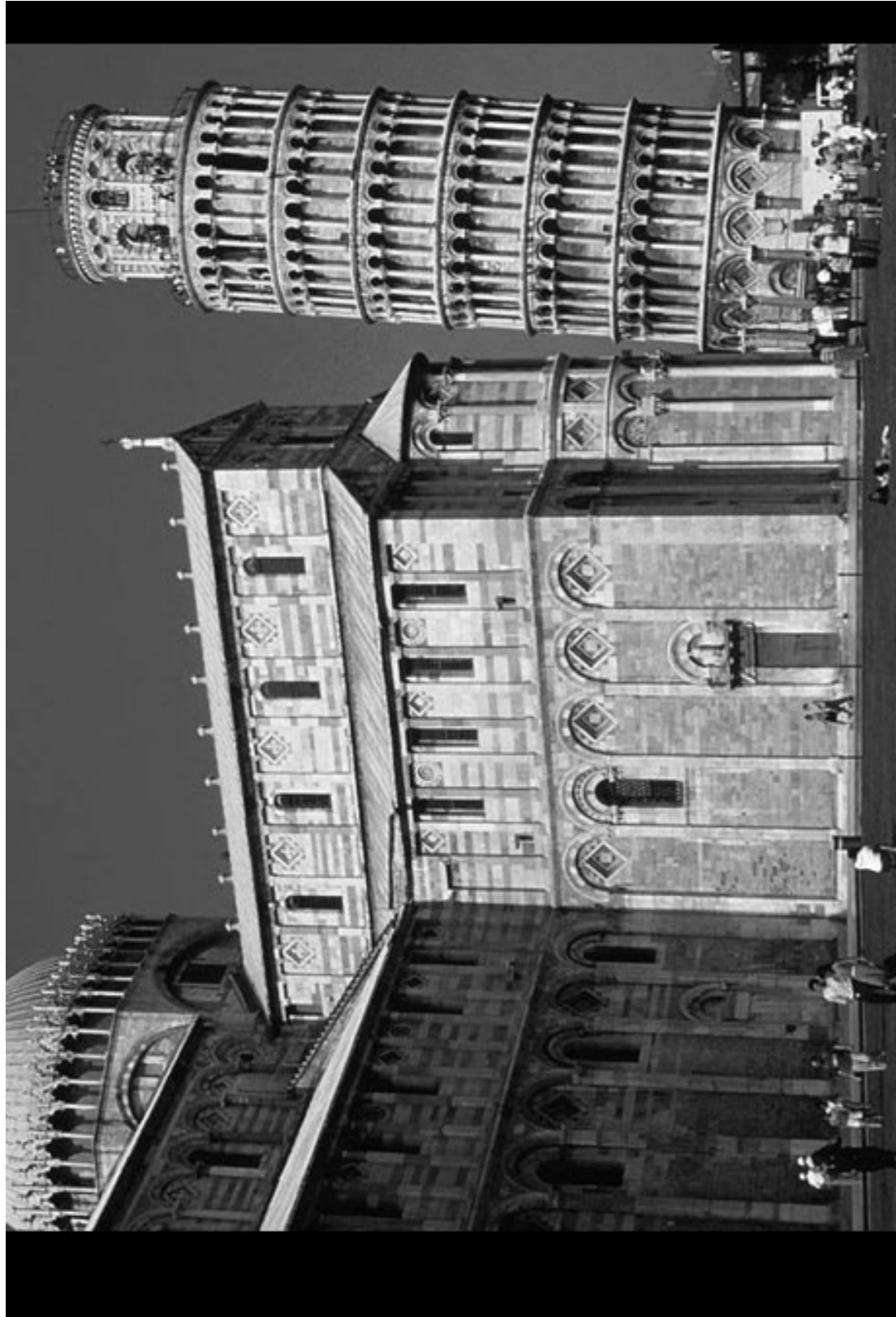


# Clase No. 9- Fundaciones

## 1. Fundaciones Superficiales.

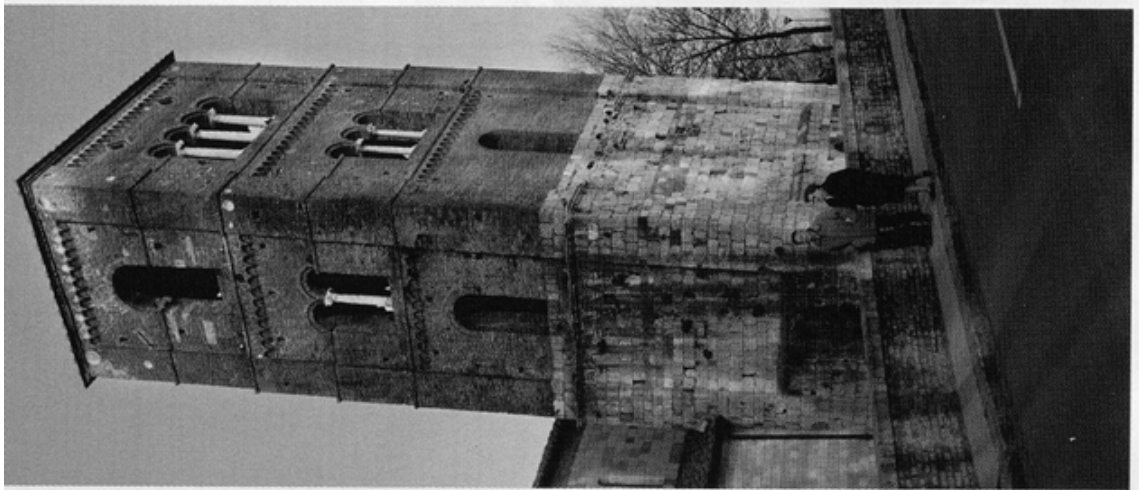
- Tipos y Usos.
- Capacidad de soporte
- Fórmula de Rotura: efecto del agua, forma de la zapata, correcciones por enterramiento, estratificación del suelo.
- Asentamientos en fundaciones superficiales: tipos de asentamientos, metodologías para la estimación de asentamientos, la constante de balastro, giros de fundación.
- Integración de los conceptos de rotura y asentamientos (giros) admisibles.
- Losas de fundación

# Asentamientos

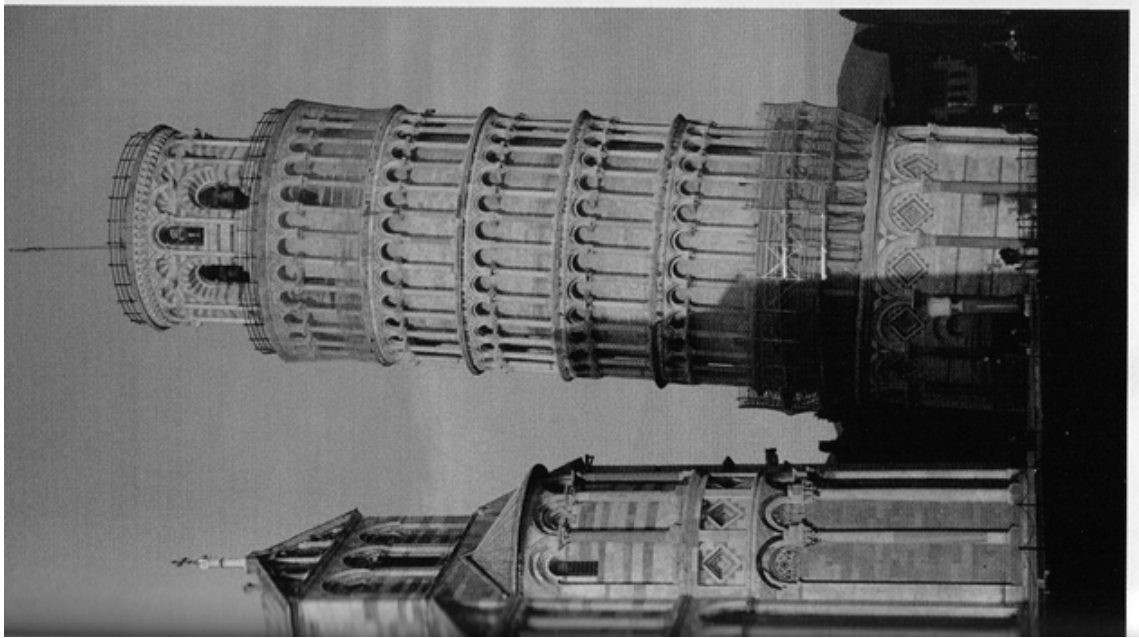




**San Nicola**  
Año de conclusión: circa 1250  
Inclinación: 2.5 grados



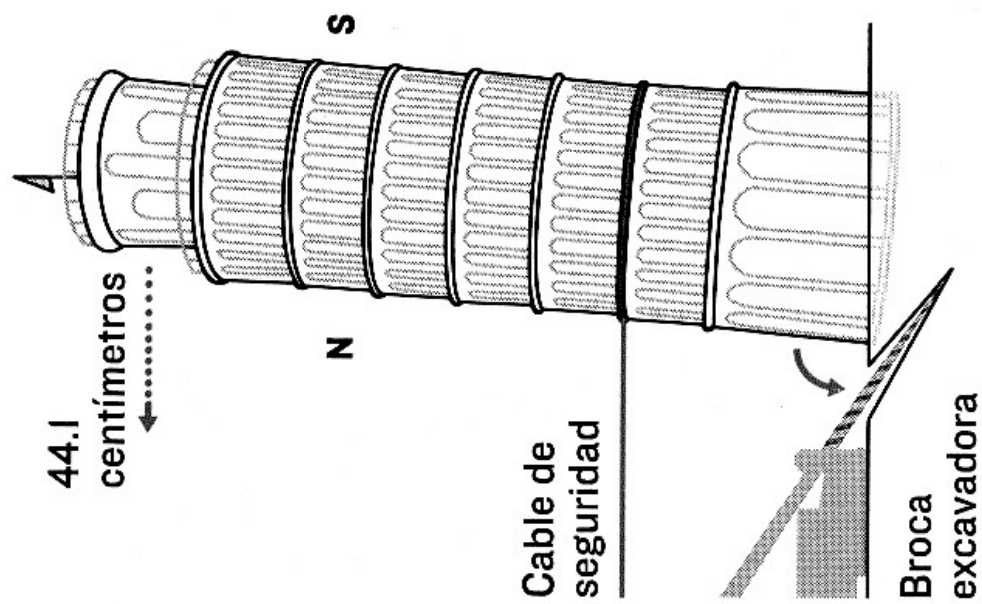
**San Michele degli Scalzi**  
Año de conclusión: circa 1100  
Inclinación: 5 grados



**La Torre di Pisa**  
Año de conclusión: circa 1370  
Inclinación: 5 grados

## HISTORIAS DERECHAS

Taladrar en 41 lugares ayudó a nivelar la base, lo cual desplazó casi medio metro la punta de la torre.



## Asentamientos máximos permitidos

**Table 14.1 Allowable Settlement**

Type of Movement	Limiting Factor	Maximum Settlement
Total settlement	Drainage Access	6-12 in. 12-24 in.
	Probability of nonuniform settlement:	
	Masonry walled structure	1-2 in.
	Framed structures	2-4 in.
	Smokestacks, silos, mats	3-12 in.
Tilting	Stability against overturning	Depends on height and width
	Tilting of smokestacks, towers	0.004 <i>l</i>
	Rolling of trucks, etc.	0.01 <i>l</i>
	Stacking of goods	0.01 <i>l</i>
	Machine operation-cotton loom	0.003 <i>l</i>
	Machine operation-turbogenerator	0.0002 <i>l</i>
	Crane rails	0.003 <i>l</i>
	Drainage of floors	0.01-0.02 <i>l</i>
	High continuous brick walls	0.0005-0.001 <i>l</i>
Differential movement	One-story brick mill building, wall cracking	0.001-0.002 <i>l</i>
	Plaster cracking (gypsum)	0.001 <i>l</i>
	Reinforced-concrete building frame	0.0025-0.004 <i>l</i>
	Reinforced-concrete building curtain walls	0.003 <i>l</i>
	Steel frame, continuous	0.002 <i>l</i>
	Simple steel frame	0.005 <i>l</i>

From Sowers, 1962.

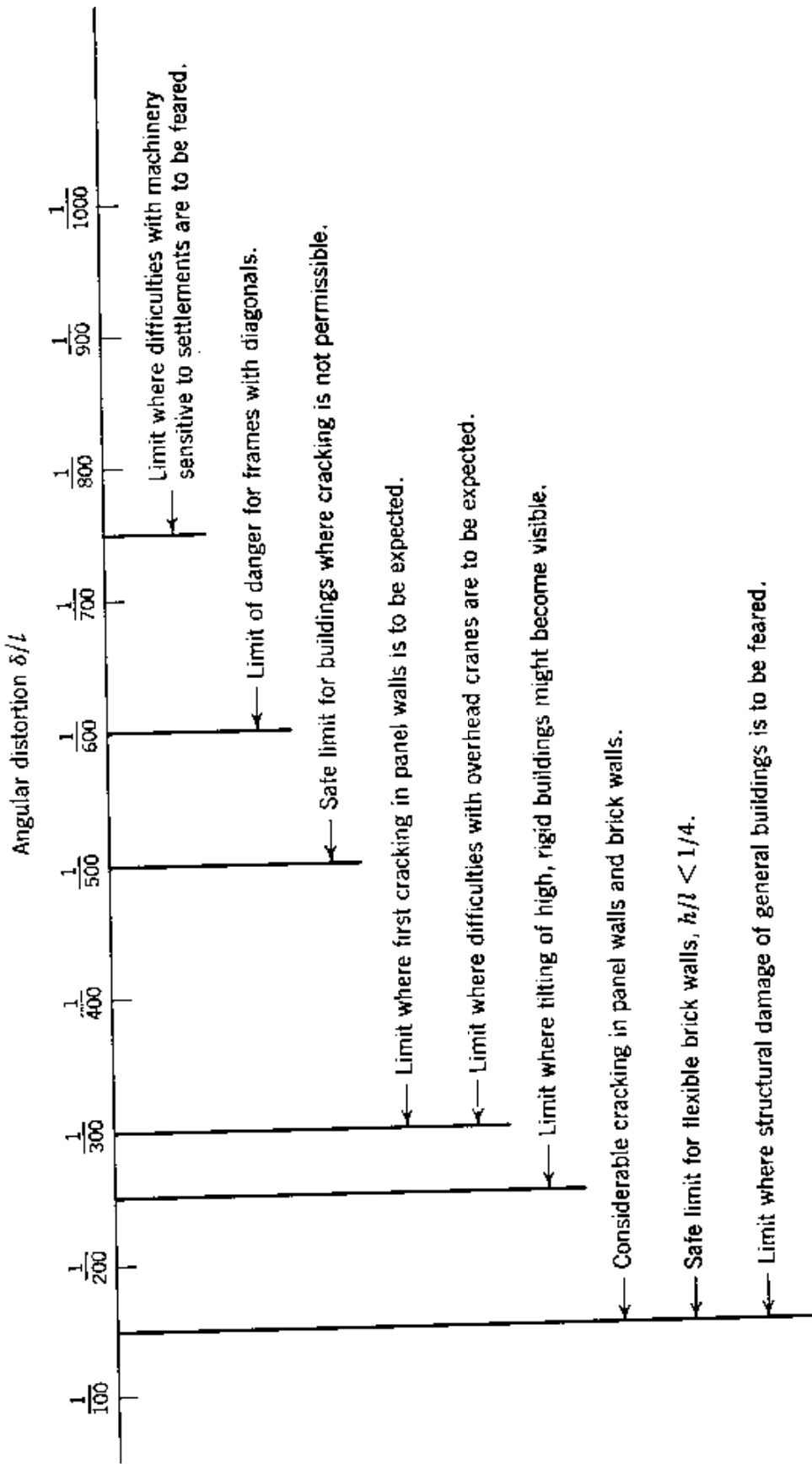
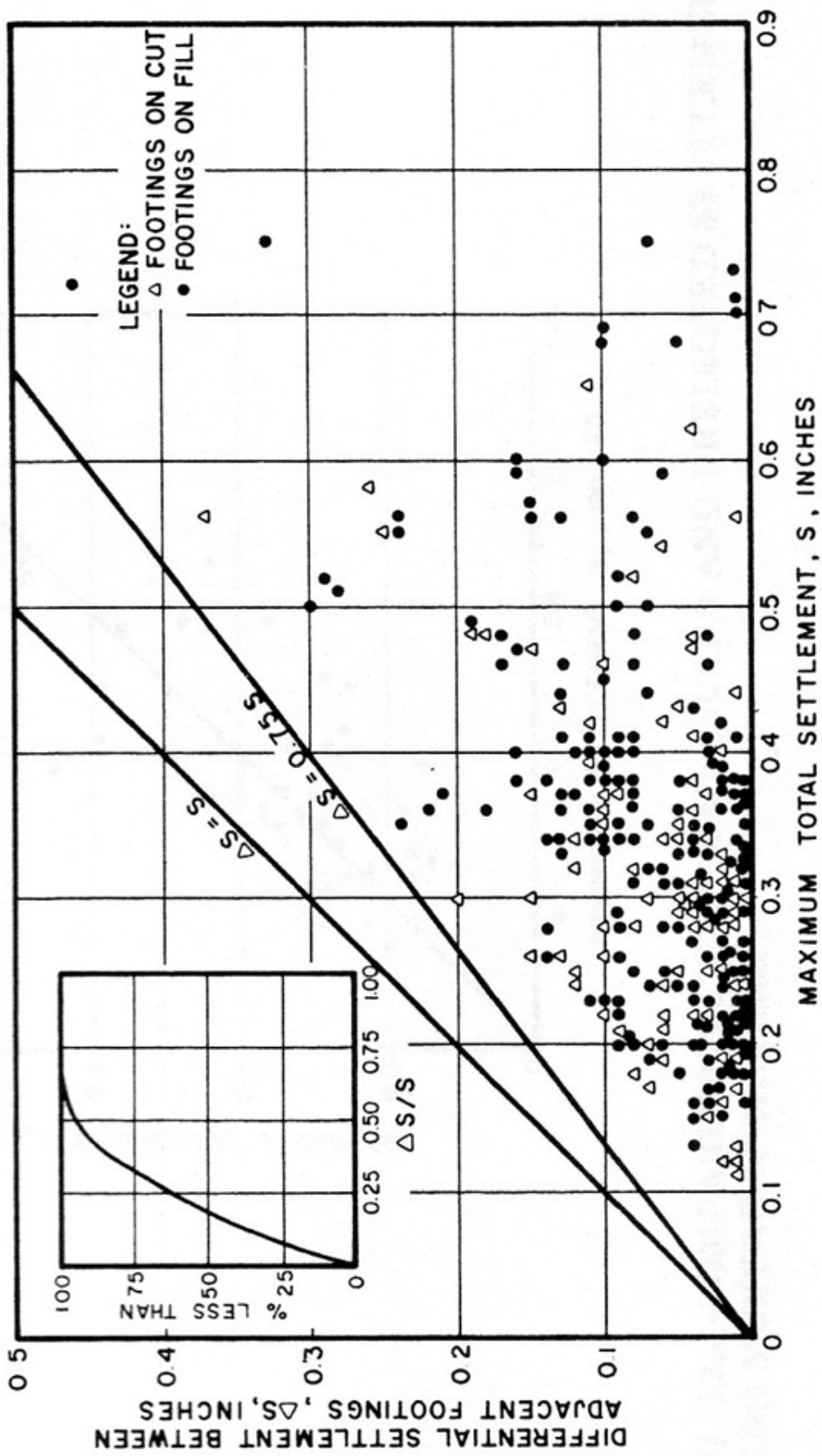


Fig. 14.8 Limiting angular distortions (From Bjerrum, 1963a).

D'Appolonia (1968)





# Asentamiento en fundaciones superficiales

$$\rho = \rho_e + \rho_p + \rho_s$$

Consolidación

$$\rho_e$$

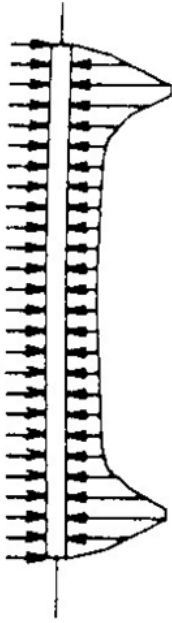
Categoría A -> Mediciones in-situ

Categoría B -> Uso de la teoría  
de la elasticidad

# Cálculo de tensiones inducidas

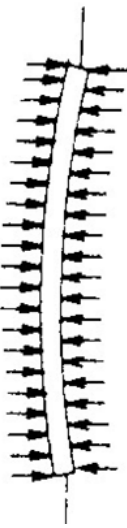
- Teoría de la elasticidad
  - Comportamiento elástico;
  - Espacio homogéneo y semi-infinito
  - Pequeñas deformaciones
- Gráficos

UNIFORM PRESSURE  $q$

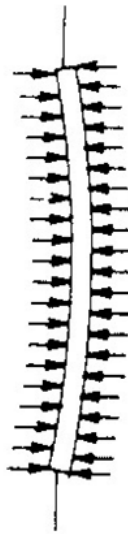


- RIGID SMALL FOOTING  
ON COHESIONLESS SOIL

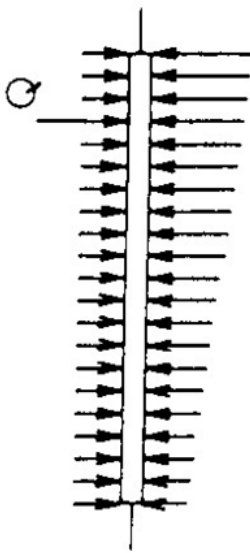
- RIGID MAT ON COHESIVE  
OR COHESIONLESS SOIL



- FLEXIBLE MAT ON  
COHESIONLESS SOIL



- RIGID MAT ON  
COHESIVE OR  
COHESIONLESS SOIL



- LINEAR CONTACT  
PRESSURE DISTRIBUTION

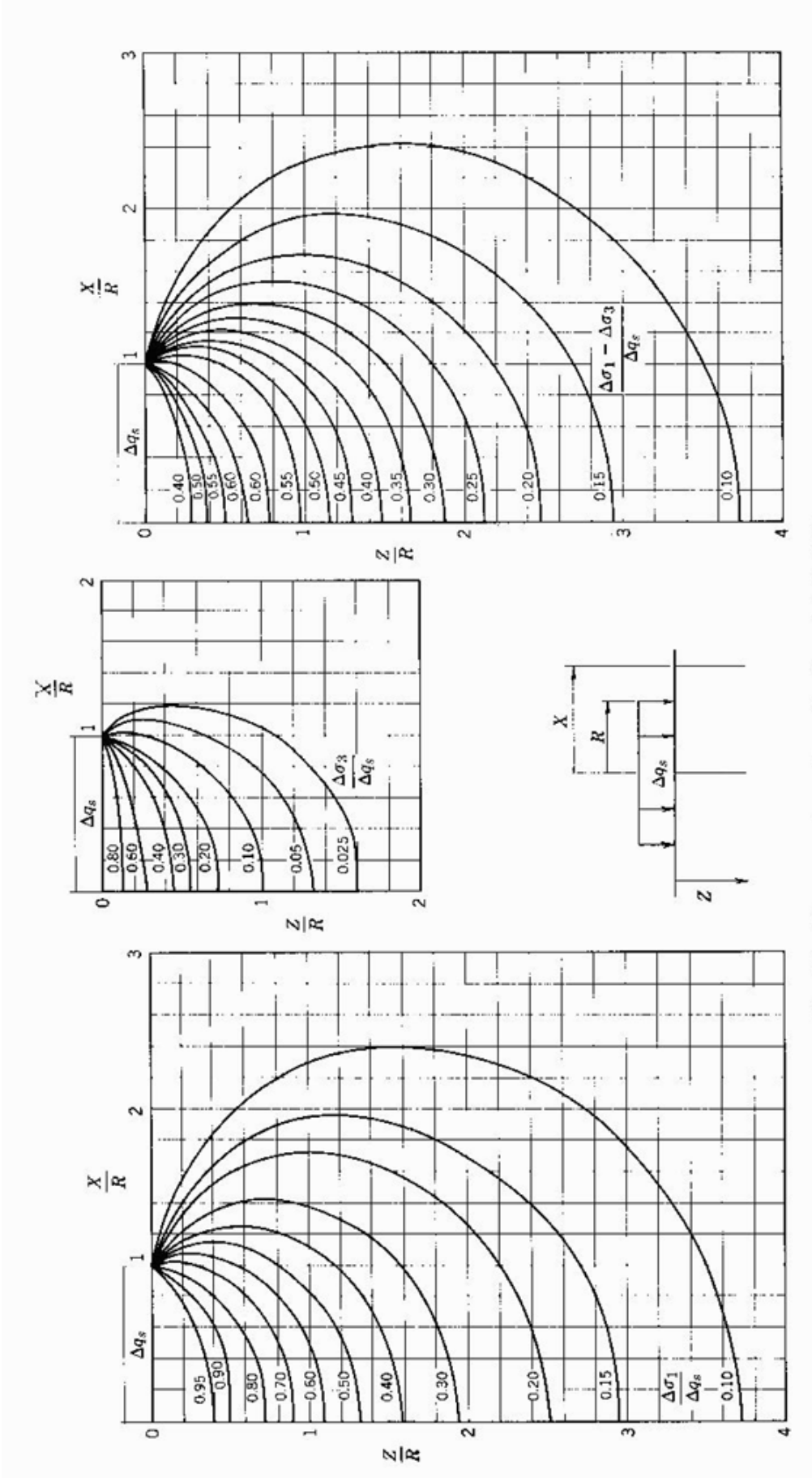
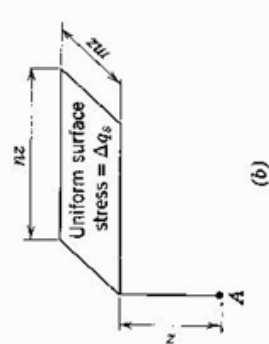
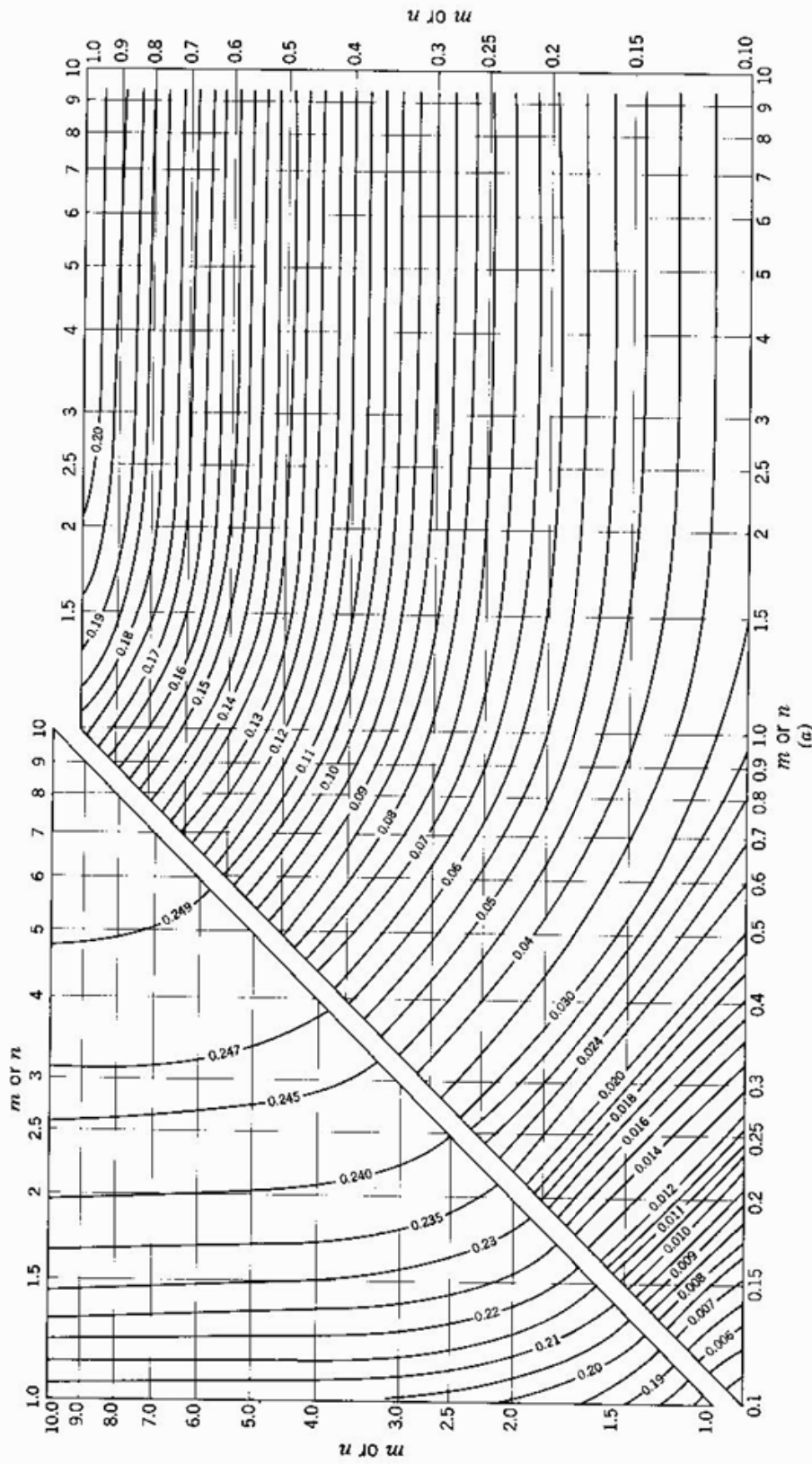


Fig. 8.5 Stresses under uniform load on circular area.

(Lambe, Soil Mechanics, 1969)



Lambe, Soil Mechanics (1969)

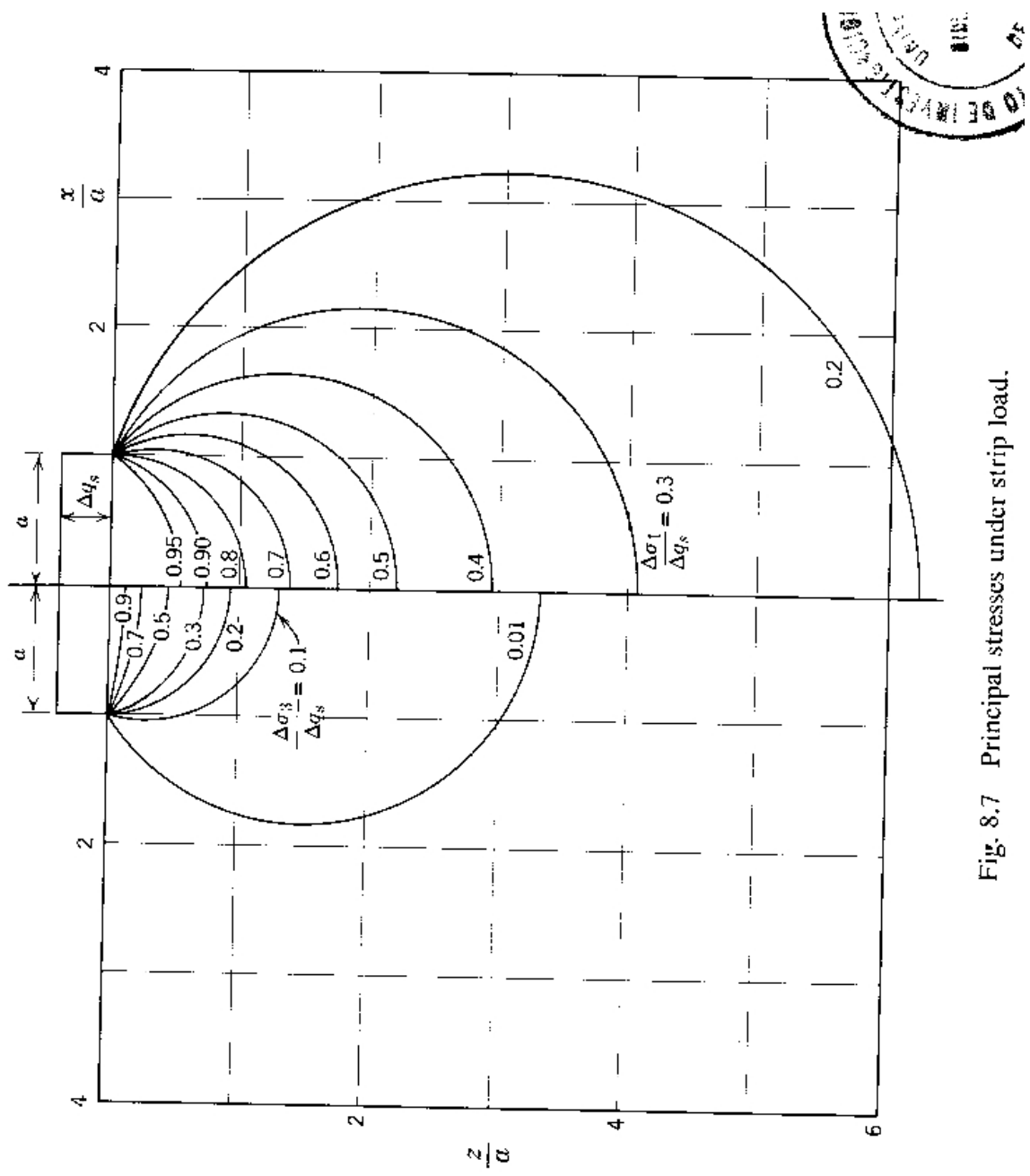


Fig. 8.7 Principal stresses under strip load.

Zapata corrida (Lambe, Soil Mechanics, 1969)

# Cálculo de asentamientos instantáneos

- Basados en la teoría de la elasticidad

$$\rho_{ins} = \frac{q' B (1 - v^2) I_p}{E}$$

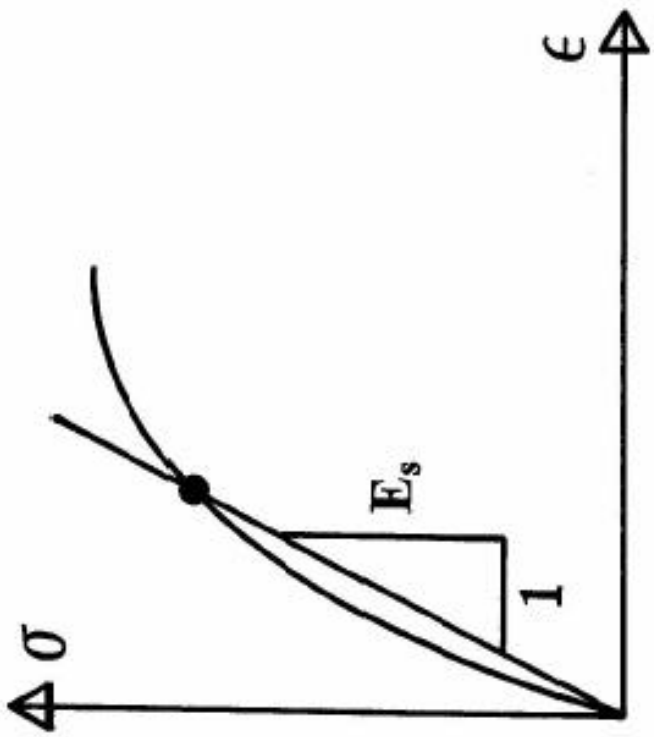
q': intensidad de la presión efectiva de contacto

B: ancho de la fundación

v: coeficiente de Poisson

E: módulo de deformación

I<sub>p</sub>: factor de influencia para el desplazamiento vertical



**Assumed Elastic Behavior:**  
**Immediate deformations**  
**and/or settlements are**  
**calculated as linear elastic**  
**using closed-form solutions**  
**for elastic boundary value problems**  
**with an “elastic” modulus estimated**  
**from a stress-strain curve**

Example:

$$S = q \cdot B \cdot \left( \frac{1 - \nu^2}{E_s} \right) \cdot I_w$$

Diagram illustrating the components of the settlement equation:

- Width of Foundation
- Shape Factor for Foundation (based on small scale tests)
- Bearing Pressure
- “Elastic” Properties
- Settlement

## Coeficiente de Poisson, $\nu$

- Normalmente considerado 0.25 a 0.3, aunque puede ser menor si se considera el comportamiento del suelo en la zona elástica.
- En condiciones No-drenadas es teóricamente igual a 0.5

$$G = \frac{E}{2(1 + \nu)}$$

G: Módulo de corte

E: Módulo de Young

**TABLE 2-7**  
**Values or value ranges for Poisson's ratio  $\mu$**

Type of soil	$\mu$
Clay, saturated	0.4–0.5
Clay, unsaturated	0.1–0.3
Sandy clay	0.2–0.3
Silt	0.3–0.35
Sand, gravelly sand commonly used	–0.1–1.00 0.3–0.4
Rock	0.1–0.4 (depends somewhat on type of rock)
Loess	0.1–0.3
Ice	0.36
Concrete	0.15
Steel	0.33

Bowles (1996)

$\mu$	Soil type
0.4–0.5	Most clay soils
0.45–0.50	Saturated clay soils
0.3–0.4	Cohesionless—medium and dense
0.2–0.35	Cohesionless—loose to medium

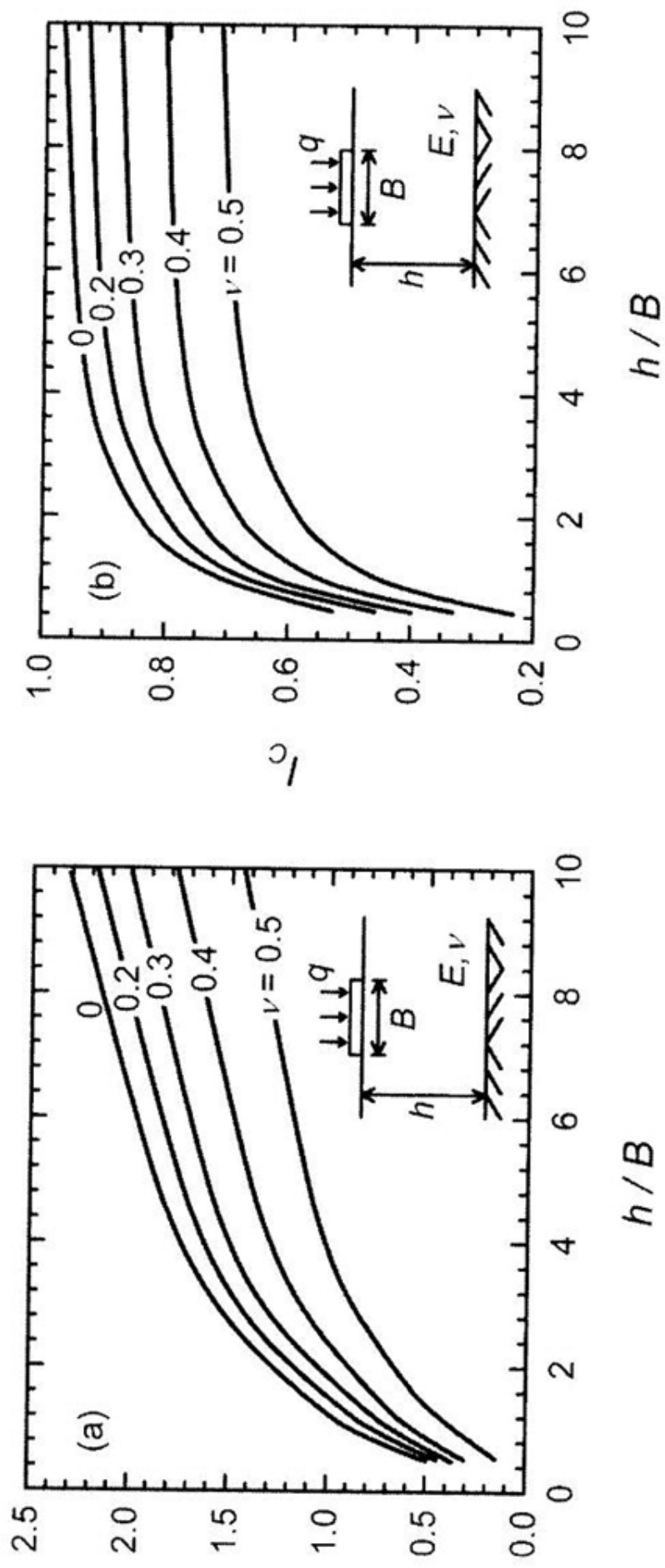
# Fundación corrida flexible

$$\rho = \frac{qB}{E} I_S$$

# Fundación circular flexible

$$\rho = \frac{qB}{E} I_G$$

Factores de influencia para cálculo de asentamiento bajo el centro de una fundación flexible: a) Fundación "infinita" de ancho B y b) Fundación circular de diámetro B en un material isotrópico uniforme de espesor h. (Rowe and Booker, 1981)



# Factor de Influencia, $I_p$

Forma	Flexible			Rígida
	Centro	Esquina	Promedio	
Circular	1.00	0.64	0.89	0.79
Cuadrada	1.122	0.561	0.946	0.82
Rectangular $L/B = 1.5$	1.358	0.679	1.148	1.06
	2.0	1.532	0.766	1.300
	3.0	1.783	0.892	1.527
	4.0	1.964	0.982	1.694
	5.0	2.105	1.052	1.826
	10.0	2.540	1.270	2.246
	100.0	4.010	2.005	3.693
				3.47

Whitlow (1994)

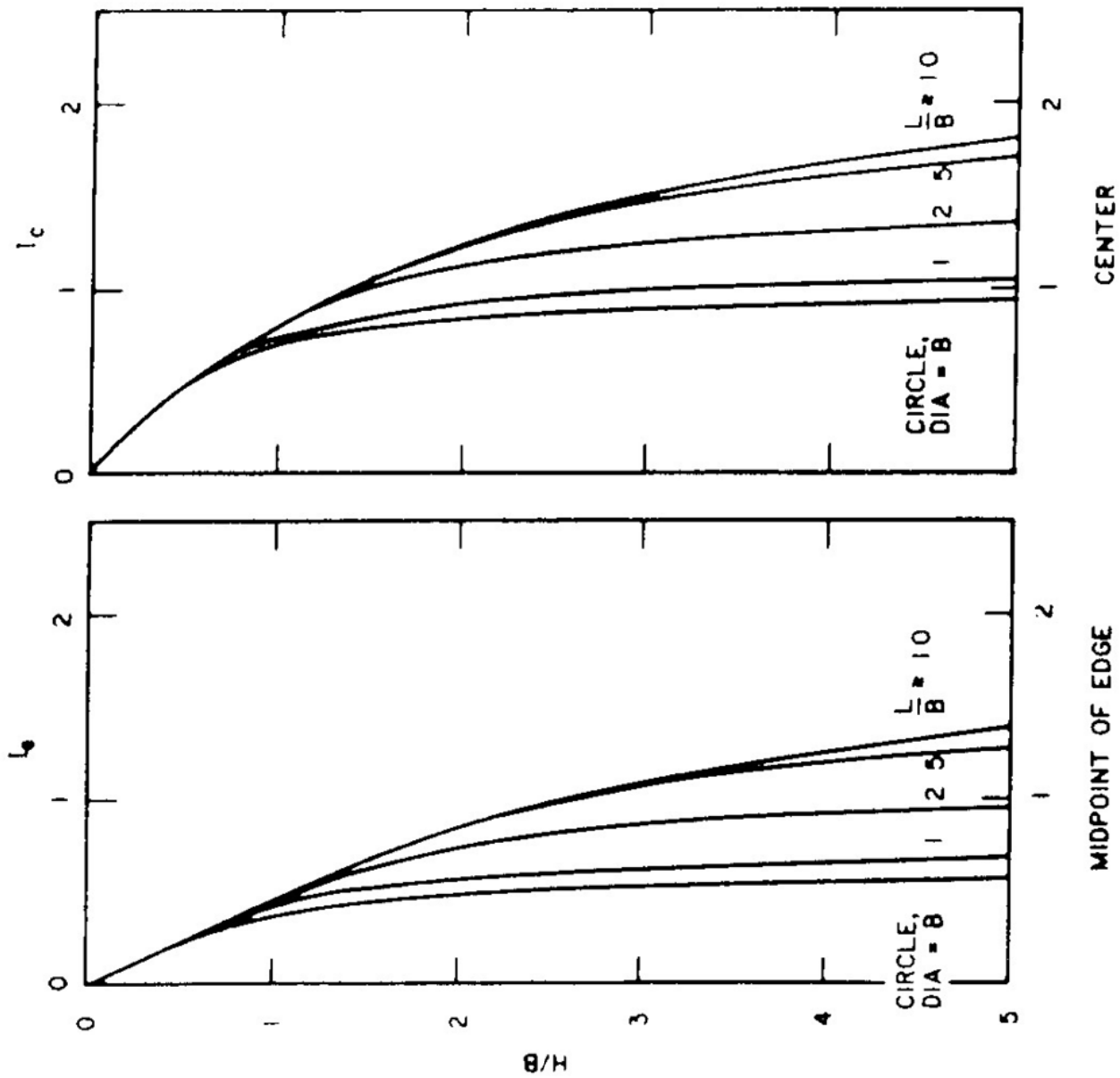
# Corrección de Perloff

$$\rho_{ins} = \frac{q' B(1 - v^2) I_\rho \alpha}{E_s}$$

Caso 1: Capa superior 1 es más compresible que la capa 2 que puede ser una arcilla dura, arena densa o roca.

Caso 2: Capa inferior 2 es más compresible que capa superior

# Caso 1



**Factors for Estimating Immediate Settlement in Cohesive Soil: Correction Factor  $\alpha$  at the Center of a Circular Uniformly Loaded Area of Width  $B$  on an Elastic Layer of Modulus  $E_{s1}$  of Depth  $H$  Underlain by a Less Stiff Elastic Material of Modulus  $E_{s2}$  of Infinite Depth**

$H/B$	$E_{s1}/E_{s2}$				
	1	2	5	10	100
0	1.000	1.000	1.000	1.000	1.000
0.1	1.000	0.972	0.943	0.923	0.760
0.25	1.000	0.885	0.779	0.699	0.431
0.5	1.000	0.747	0.566	0.463	0.228
1.0	1.000	0.627	0.399	0.287	0.121
2.5	1.000	0.550	0.274	0.175	0.058
5	1.000	0.525	0.238	0.136	0.036
$\infty$	1.000	0.500	0.200	0.100	0.010

Reprinted from D.M. Burmister, 1965, "Influence Diagrams for Stresses and Displacements in a Two-Layer Pavement System for Airfields," Contract NBY 13009, Department of the Navy, Washington, D.C. (item 7).

## Caso 2

Nota: usar  $E$  menor =  $ES_2$

## Caso General para fundación circular (Mayne and Poulos, 1999)

$$\sigma = \frac{q B I_F l_E (1 - \mu^2)}{E}$$

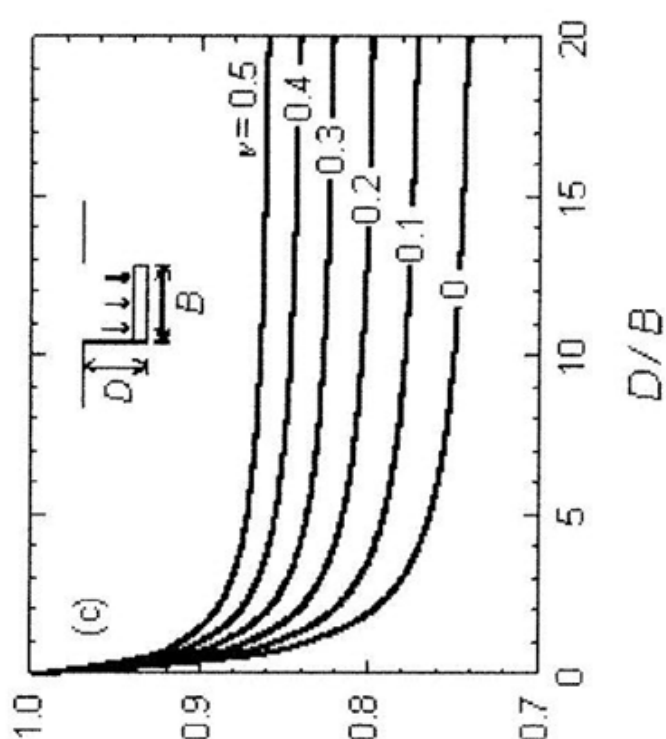
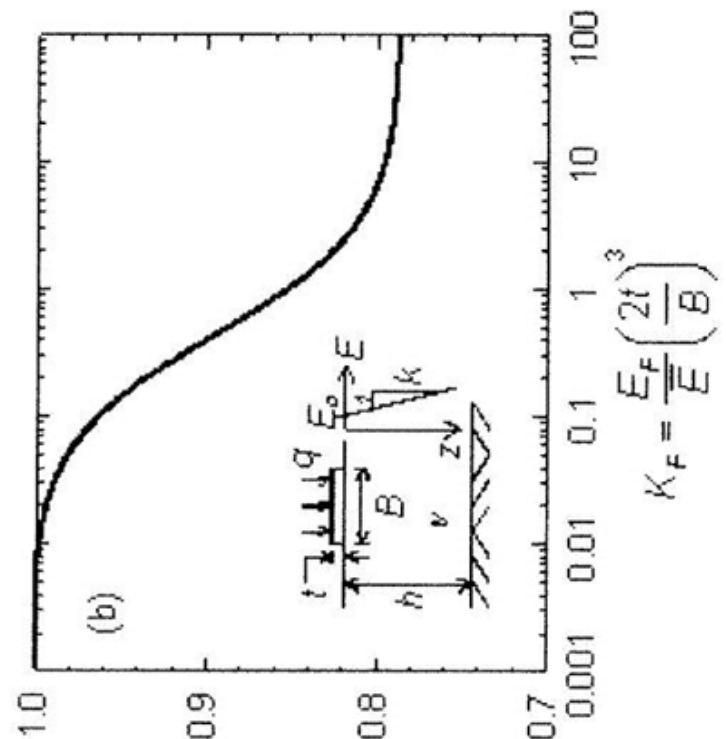
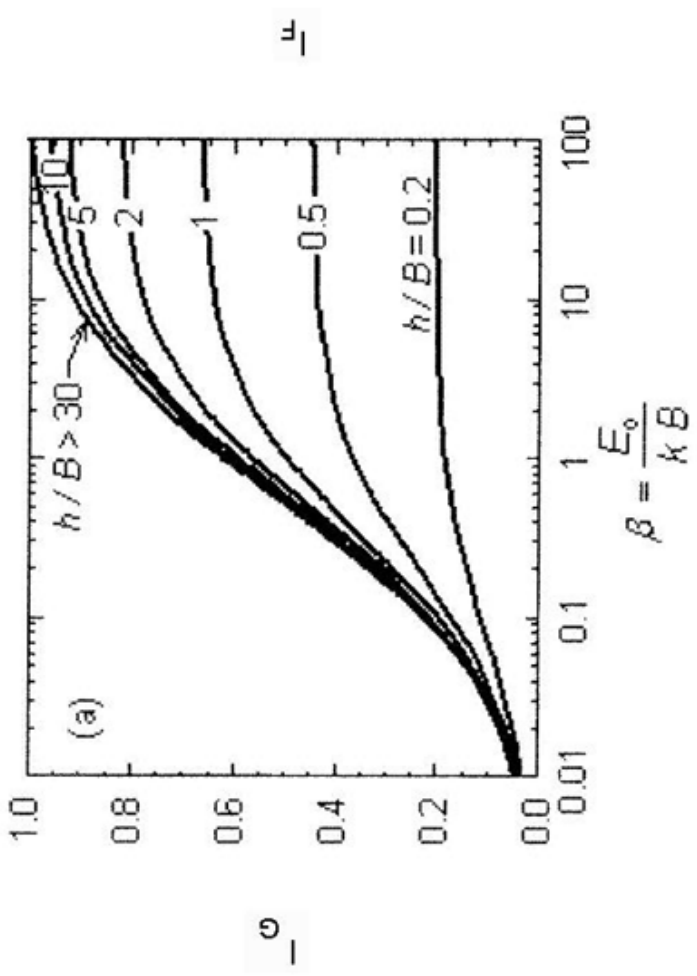
$I_G$ : Factor de influencia por rigidez no uniforme del suelo

$I_F$ : Factor de influencia de rigidez de la fundación

$I_E$ : Factor de influencia por enterramiento de la fundación

E: Módulo de deformación drenado o no drenado en la superficie

Obs: aunque este método es para fundaciones circulares puede ser ocupado en fundaciones cuadradas y rectangulares ( $L < 3B$ ) usando un diámetro equivalente tal que la fuerza aplicada a la fundación es la misma



$E_F$ : Módulo de Young del material de la  
zapata o fundación  
 $E$ : Es el valor promedio del suelo en un  
espesor  $B$  bajo la fundación  
 $t$ : es el espesor de la fundación

# Módulo de deformación, E

- Módulo de elasticidad ???
- Módulo de deformación o módulo secante
  - Normalmente se determina a través de ensayos triaxiales (muestras representativas) o de ensayos insitu.
- En suelos varía con el nivel de tensión de confinamiento

**TABLE 2-8**  
**Value range\* for the static stress-strain**  
**modulus  $E_s$  for selected soils (see also**  
**Table 5-6)**

Field values depend on stress history, water content, density, and age of deposit

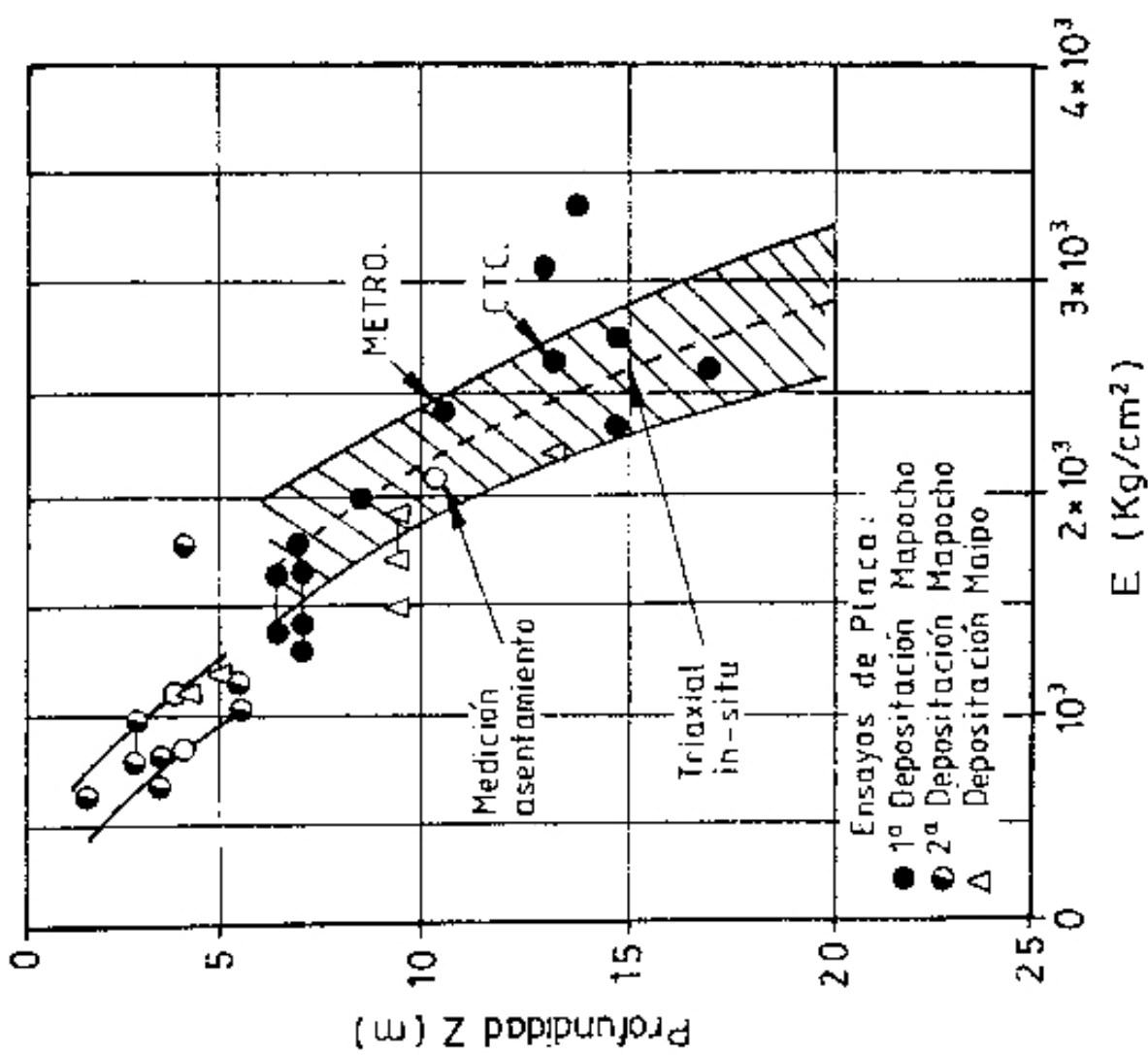
Soil	$E_s$ , MPa
Clay	
Very soft	2–15
Soft	5–25
Medium	15–50
Hard	50–100 <sup>†</sup>
Sandy	25–250
Glacial till	
Loose	10–150
Dense	150–720
Very dense	500–1440
Loess	15–60
Sand	
Silty	5–20
Loose	10–25
Dense	50–81 <sup>†</sup>
Sand and gravel	
Loose	50–150
Dense	100–200
Shale	150–5000
Silt	2–20

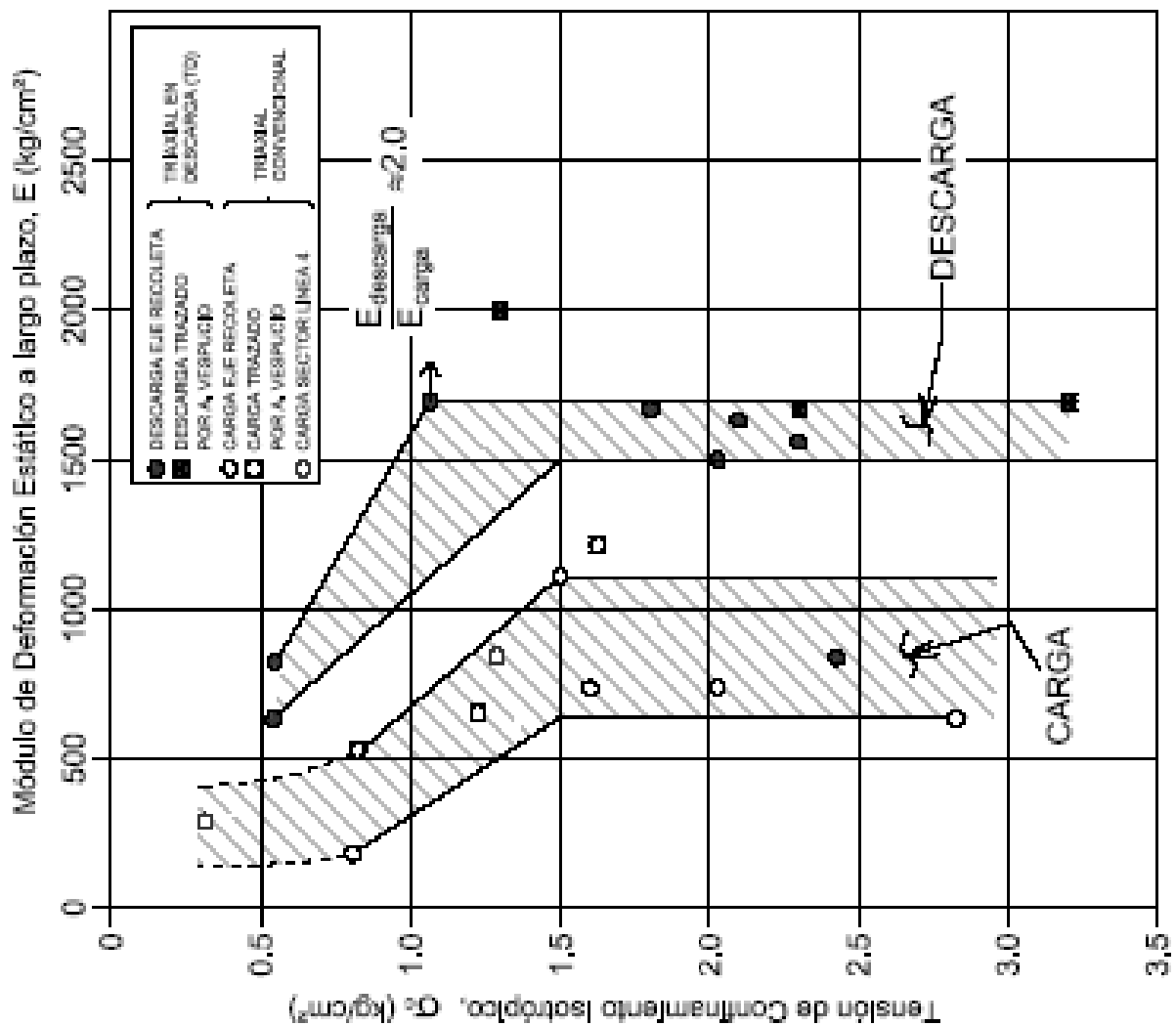
Bowles (1996)

\*Value range is too large to use an "average" value for design.

<sup>†</sup>Value ranges for shale and silt are based on field measurements.

# Grava de Santiago





**FIG.30 MODULOS DE DEFORMACIÓN ESTÁTICOS EN CARGA Y EN DESCARGA DRENADA PARA  $F_S = 3.0$  EN SUELOS FINOS CON HUMEDAD NATURAL**